

---

# Vakuum

---

ANFÄNGERPRAKTIKUM FÜR B.SC. PHYSIK

TEIL II

AJELLO PATRICK

Matr. 03731453

LUIS WALTHER

Matr. 03728424

21.01.2021

# Contents

|          |   |           |
|----------|---|-----------|
| <b>1</b> | <b>Abstract</b>                                     | <b>1</b>  |
| <b>2</b> | <b>Grundlagen</b>                                   | <b>1</b>  |
| 2.1      | Eigenschaften eines idealen Gases . . . . .         | 1         |
| 2.1.1    | Grundgleichung der Kinetischen Gastheorie . . . . . | 1         |
| 2.1.2    | Mittlere freie Weglänge . . . . .                   | 1         |
| 2.1.3    | Wärmeleitung . . . . .                              | 2         |
| 2.1.4    | Viskosität eines idealen Gases . . . . .            | 2         |
| 2.1.5    | Druckmessung . . . . .                              | 2         |
| 2.2      | Vakuumtechnische Begriffe . . . . .                 | 2         |
| 2.3      | Gasströmung und Leitwerte . . . . .                 | 3         |
| 2.4      | Pirani-Manometer . . . . .                          | 4         |
| <b>3</b> | <b>Experimentelles Vorgehen</b>                     | <b>4</b>  |
| 3.1      | Kalibrierung des Pirani-Manometers . . . . .        | 4         |
| 3.2      | Saugvermögen der Pumpe . . . . .                    | 5         |
| 3.3      | Effektives Saugvermögen der Pumpe . . . . .         | 5         |
| <b>4</b> | <b>Diskussion</b>                                   | <b>6</b>  |
| 4.1      | Kalibrierkurve . . . . .                            | 6         |
| 4.2      | Saugvermögen der Pumpe . . . . .                    | 8         |
| 4.3      | Effektives Saugvermögen der Pumpe . . . . .         | 9         |
| 4.4      | Fragen . . . . .                                    | 11        |
| 4.4.1    | Frage 1 . . . . .                                   | 11        |
| 4.4.2    | Frage 2 . . . . .                                   | 11        |
| 4.4.3    | Frage 3 . . . . .                                   | 11        |
| <b>5</b> | <b>Anhang</b>                                       | <b>11</b> |
| 5.1      | Fehlerechnung . . . . .                             | 11        |
| 5.1.1    | kalibrierkurve . . . . .                            | 11        |
| 5.1.2    | Saugvermögen der Pumpe . . . . .                    | 12        |
| 5.1.3    | Effektives Saugvermögen der Pumpe . . . . .         | 12        |
| 5.2      | Literaturverzeichnis . . . . .                      | 12        |
| 5.3      | Bilderverzeichnis . . . . .                         | 12        |
| 5.4      | Daten . . . . .                                     | 13        |

---

# 1 Abstract

## 2 Grundlagen

In diesem Versuch werden wir verschiedene Vakuums Techniken benutzen um die Eigenschaften von Idealen Gasen zu untersuchen. Wichtig ist dabei dass Luft sich, bei den gegebenen Drücken wie ein ideales Gas verhält. Das Konzept von Vakuum muss auch klar sein: ein echtes Vakuum wäre ein komplett leerer Raum, was nicht realisierbar ist, aber annäherbar.

### 2.1 Eigenschaften eines idealen Gases

Ideale Gase folgen der sogenannten *idealen Gasgleichung*:

$$p \cdot V = n \cdot R \cdot T = N \cdot k_B \cdot T \quad (1)$$

mit  $p[\text{Pa}]$  der Druck,  $V[\text{m}^3]$  dem Volumen,  $n[\text{mol}]$  der Anzahl an Mol,  $R \approx 8,312 \text{ J/molK}$  der Universellen Gaskonstante,  $T[\text{K}]$  der Temperatur,  $N$  der Teilchenzahl und  $k_B \approx 1,381 \cdot 10^{-23} \text{ J/K}$  der Boltzmann-Konstante. Eine mol eines Stoffes enthält eine Anzahl an Teilchen gleich der Avogadro-Konstante  $N_A$ . Es gilt der Zusammenhang  $R = N_A \cdot k_B$

#### 2.1.1 Grundgleichung der Kinetischen Gastheorie

Auf molekularer Ebene fliegen alle Teilchen in einem Gas mit verschiedenen Geschwindigkeit umher. Zur Vereinfachung wird der mittlere Wert  $\bar{v} = \sqrt{\bar{v}^2}$  benutzt. Man kann zeigen dass auf die Wände der folgende Druck wirkt

$$p = \frac{1}{3} \rho \cdot m \cdot \bar{v}^2 \quad (2)$$

Zusammen mit Gleichung 1 ergibt sich

$$E_{kin} = \frac{1}{2} m \cdot \bar{v}^2 = \frac{3}{2} k_B \cdot T \quad (3)$$

Im Mittel gilt also eine Proportionalität zwischen Kinetischer Energie und Temperatur eines Moleküls.

#### 2.1.2 Mittlere freie Weglänge

Gasmoleküle kollidieren nicht nur mit den Wänden ihres Behälters, sondern auch mit anderen Teilchen. Mit *Mittlerer freier Weglänge* ( $\lambda$ ) bezeichnet man die Strecke die die Teilchen im Mittel zurücklegen bevor sie kollidieren.

$$\lambda = \frac{1}{\sqrt{32} \rho F} \quad (4)$$

mit  $F$  den Querschnitt eines Moleküls und  $\rho$  die Teilchendichte.

---

### 2.1.3 Wärmeleitung

Der Wärmestrom zwischen zwei Platten ist proportional zum Temperaturunterschied  $\Delta T$  und zur Wärmeleitungskonstante  $\kappa$  des Gases

$$P \propto \kappa \cdot \Delta T \quad (5)$$

Aus der kinetischen Gastheorie folgt dann für nicht zu kleine Drücke

$$\kappa = \frac{1}{2} \lambda \cdot \rho \cdot k_B \cdot \bar{v} \quad (6)$$

Mit  $\lambda$  aus Gleichung 4 folgt dann  $\lambda \propto 1/\rho$ , d.h.  $\kappa$  ist unabhängig von der Gasdichte. Bei kleinen Drücken wird  $\lambda$  aber gleich oder größer als der Abstand zwischen den Platten und damit folgt dass  $\kappa \propto \rho$ . Diese Eigenschaft nutzen wir in diesem Experiment beim Piranimanometer aus.

### 2.1.4 Viskosität eines idealen Gases

Für die Viskosität eines idealen Gases gilt

$$\nu = \frac{1}{3} \lambda \cdot \rho \cdot m \cdot \bar{v} \quad (7)$$

Bei Drücken von über 1 hPa wird auch die Viskosität  $\nu$  unabhängig von der Dichte. Dann gilt auch  $\nu \propto \rho$

### 2.1.5 Druckmessung

Die direkte Methode Druck zu messen ist die Kraft zu messen die auf eine Fläche ausgeübt wird. Dafür kann man zum Beispiel ein Quecksilbermanometer oder ein Membran-Manometer benutzen. Andere Arten von Manometern sind Wärmeleitungsmanometer wie das Piranimanometer in diesem Experiment, Kaltkathodenmanometer und Ionisationsmanometer. All diese Instrumente müssen vor der Benutzung kalibriert werden.

## 2.2 Vakuumtechnische Begriffe

Eine Vakuumapparatur besteht aus einem Rezipienten der zu evakuieren ist und einer Pumpe. In diesem Versuch wird eine Drehschieberpumpe benutzt die aus 2 Rotoren besteht die durch Schieber und dass sich drehen die abgesaugte Luft raus schieben. Es wird üblicherweise ein Endvakuum von  $10^{-3}$  hPa und niedriger erreicht. Dieses Vakuum wird als *Feinvakuum* klassifiziert. Am Anfang des Saugvorgangs befinden wir uns noch im *Großvakuum* (1-1000 hPa). Höhere Arten von Vakuum werden nicht erreicht.

Die *Saugleistung* einer Pumpe  $Q_p = \frac{p \cdot V}{dt}$  ist bei der Drehschiebepumpe über einen Bereich proportional zum Druck.

$$Q_p = S \cdot p \quad (8)$$

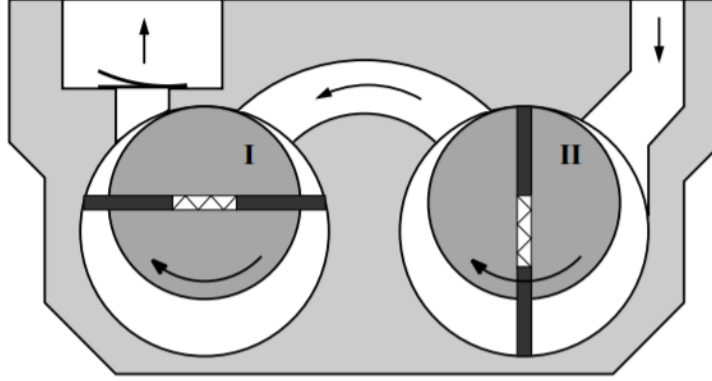


Figure 1: Drehschiebepumpe im Schnitt

S ist das Saugvermögen. Es gilt also

$$\frac{d(p \cdot V)}{dt} = S \cdot p \quad (9)$$

Das Saugvermögen kann aber praktisch nie ganz ausgenutzt werden weil es begrenzt wird von den kleinen leitwerten von Rohren, Engstelle, usw. Für das effektive Saugvermögen gilt

$$\frac{1}{S_{eff}} = \frac{1}{S} + \frac{1}{L_1} + \frac{1}{L_2} + \dots \quad (10)$$

mit  $L_{1,2,\dots}$  die Leitwerte der hintereinander geschalteten Komponenten. Seien  $S_{eff}$  und  $V$  überall konstant dann bekommt man durch Integration der Gleichung 9.

$$p(t) = p_0 \cdot \exp\left(-\frac{S_{eff}}{V} \cdot t\right) \quad (11)$$

$S_{eff}$  ist normalerweise auf großen Bereichen nicht konstant aber man kann Gleichung trotzdem auf kleine bereiche anwenden wo  $S_{eff}$  annähernd konstant ist.

## 2.3 Gasströmung und Leitwerte

Bei hohen Drucken kann man Gas als zähes Medium sehen und das Hagen-Poiseuillsche Gesetz anwenden. Wenn man statt dem Volumenstrom durch das Rohr den Gasmengenstrom betrachtet erhält man die Formel

$$Q = p(x) \cdot \frac{\pi \cdot d^4}{128 \cdot \eta} \cdot \frac{dp}{dx} \quad (12)$$

mit  $d$  Rohrdurchmesser. Da die strömende Menge des Gases im ganzen Rohr konstant sein muss ist  $Q$  unabhängig von  $x$ . Daraus folgt  $p(x) \cdot \frac{dp}{dx}$  muss konstant sein. Man kann schreiben

$$Q = \frac{\pi \cdot d^4}{128 \cdot \eta \cdot l} \cdot \bar{p} \cdot \Delta p = L \cdot \Delta p \quad (13)$$

mit  $L$  dem Leitwert des Rohrs

$$L = \frac{\pi \cdot d^4}{128 \cdot \eta \cdot l} \cdot \bar{p} \quad (14)$$

Bei niedrigen Drücken wird die Gleichung 14 ungültig und wenn man  $\lambda$  mit dem Rohrdurchmesser ersetzt erhält man

$$L = \sqrt{\frac{\pi \cdot k_B \cdot T}{18 \cdot m}} \cdot \frac{d^3}{l} \quad (15)$$

In unseren Laborbedingungen bei  $20^\circ\text{C}$  gilt dann

$$L = 121 \frac{m}{s} \cdot \frac{d^3}{l} \quad (16)$$

Im dritten Teil unseres Experimentes haben wir einen Aufbau mit einer Reihenschaltung von Rohren, dort gilt

$$\frac{1}{L_{\text{gesamt}}} = \frac{1}{L_1} + \frac{1}{L_2} + \dots \quad (17)$$

## 2.4 Pirani-Manometer

In der Messröhre befindet sich ein dünner Draht (in unserem Versuch Wolframdraht mit  $10\mu\text{m}$  Durchmesser). Seine Temperatur und damit sein Widerstand wird konstant gehalten. Die Leistung die dafür gebraucht wird ist dann proportional zur Wärmeleitfähigkeit des Gases. gemessen wird der Strom  $I$ .

# 3 Experimentelles Vorgehen

## 3.1 Kalibrierung des Pirani-Manometers

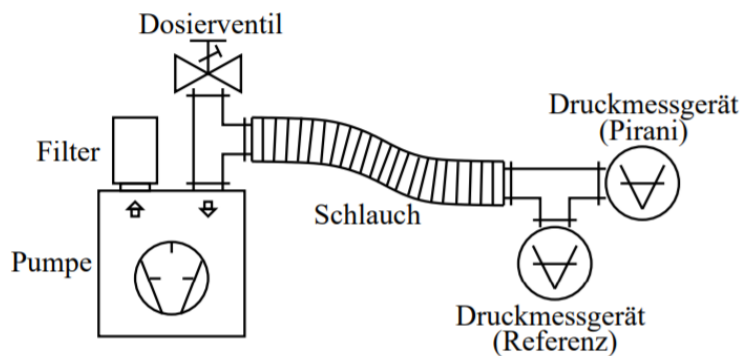


Figure 2: Aufbau zur kalibrierung des Pirani-Manometers

Nach dem Aufbau des Versuchs wie im folgenden Bild, den wert des Stroms bei mindestens 20 verschiedenen Drücken messen. Die Pumpe einschalten bis man auf einen konstanten

druck kommt. Bei kleinen Drücken wird dies nur erreicht wenn man die Pumpe anlässt. Bei höheren Drücken die Pumpe zwischen Messungen ausmachen. Durch das Dosierventil kann Luft rausgelassen werden.

### 3.2 Saugvermögen der Pumpe

Man schließt die Pumpe wie in der folgenden Figur an einen Kolben an und misst die Zeit die gebraucht wird um 80ml Volumen auszusaugen. Der Dreiwegehahn ermöglicht es uns Messungen zu haben die nicht von dem Einschaltungsprozess der Pumpe und der Luft die im Schlauch zwischen Pumpe und Kolben ist, verfälscht sind. Der Hahn wird erstmal zu gehalten, dies ermöglicht der Pumpe einen konstanten druck im Hahn zu kreieren, der dann, wenn man den dreiwegehahn dreht an dem Kolben zieht.

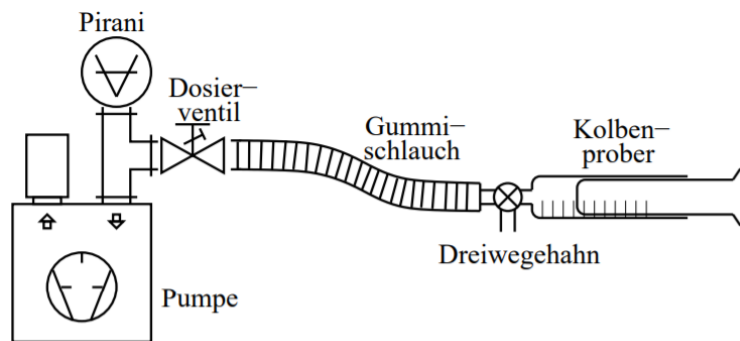


Figure 3: Aufbau zur messung des Sehvermögens der Pumpe

### 3.3 Effektives Saugvermögen der Pumpe

Ein Messing- Rezipient wird wie in der Figur mit 3 verschiedenen Verbindungsrohren ausgepumpt. Das Volumen vom Messing Behälter beträgt  $V = (3,0 \pm 0,1) dm^3$ . Die verbindungen sind:

- Schlauch mit 22mm durchmesser über 2 Minuten.
- Schlauch mit Kapillare mit  $(2,0 \pm 0,1) mm$  Durchmesser und  $(9,5 \pm 0,2) cm$  Länge über 8 Minuten.
- Schlauch mit Kapillare mit  $(3,0 \pm 0,1) mm$  Durchmesser und  $(9,5 \pm 0,2) cm$  Länge über 6 Minuten.

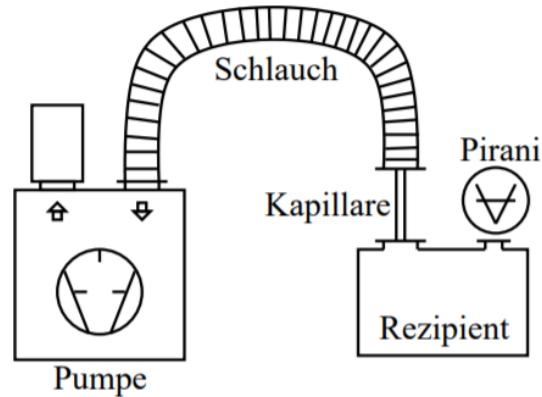
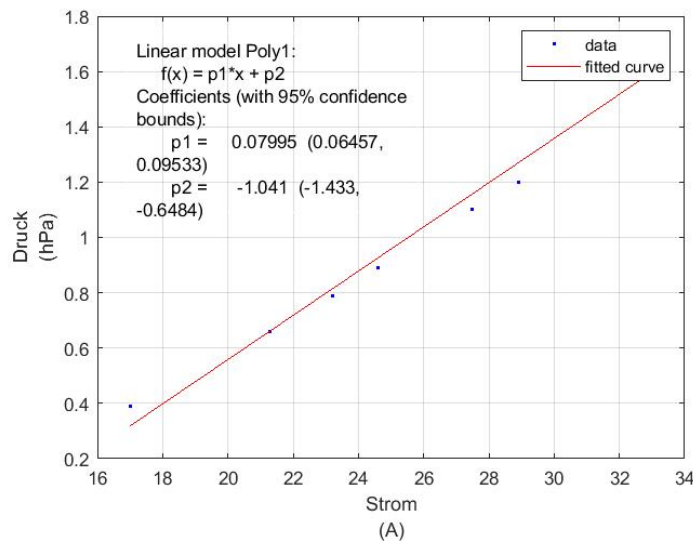


Figure 4: Aufbau zur messung effektiven Sehvermögens der Pumpe

## 4 Diskussion

### 4.1 Kalibrierkurve

Die Kalibrierkurve kann in verschiedenen Bereiche geteilt werden, von besonderem Interesse ist der Bereich zwischen 20 und 55 Ampere, da wir dort unsere Messungen für das Saugvermögen durchgeführt haben. Einen ersten Bereich ist der zwischen 17 und 34 A, dort sieht man eine lineare Abhängigkeit zwischen Druck und Strom.



Wir haben eigentlich noch Messungen die unter diesem Bereich liegen aber wegen der geringen Anzahl ( $n=2$ ), der nichtlinearität des Anstieg und da sie nicht für die Kalibrierung relevant sind, da unsere Messungen weit entfernt sind, wird dieser Bereich bis auf weiteres ignoriert.



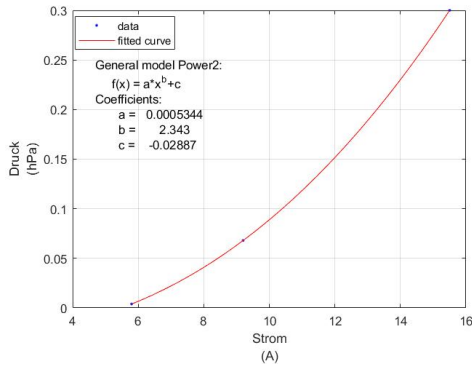


Figure 5: Kalibrierungskurve  $I < 17A$ . Keine wirkliche statistische Relevanz wegen  $n=3$ , aber ist für Aufgabe 3 notwendig

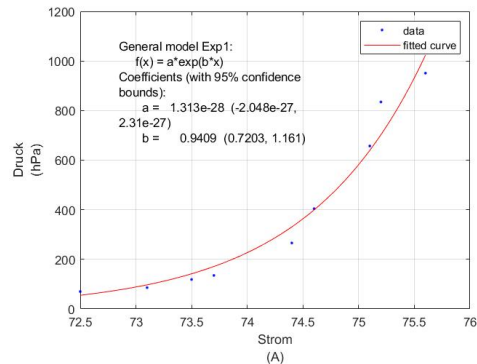
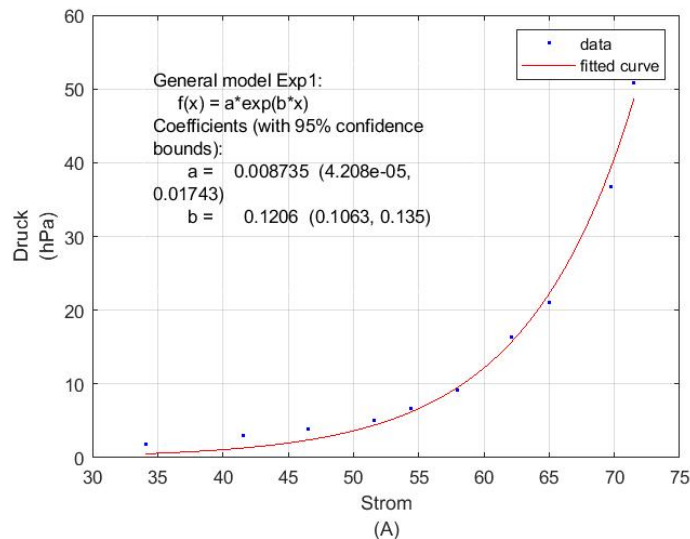


Figure 6: Kalibrierungskurve  $I > 74A$

Ein zweiter Bereich der von Interesse ist, ist der zwischen 34 und 72 Ampere, dort ist der Wachstum exponentiell.



In dem Bereich danach wächst der Druck sehr stark an, fast so als wären wir nahe an einer Singularität.

Man kennt den Zusammenhang zwischen Leistung  $P$  und Stromstärke  $P = RI^2$  mit dem gegebenen Widerstand  $\Omega_{44}$ . Um den Strom auszurechnen stellen wir die zwei Gleichungen, die wir durch den Fit gewonnen haben, nach  $I$  um. Wir erhalten dann

$$\begin{cases} I(p) = \frac{p+1.041}{0.07995} & 17 \leq I \leq 34 \\ I(p) = \frac{1}{0.1206} \ln \frac{p}{0.008735} & 34 \leq I \leq 72 \end{cases} \quad (18)$$

Die bereiche haben natürlich keine scharfen grenzen wie es hier in den Formeln aussieht. Dass ist aber für dieses experiment von weniger Bedeutung. Es ist uns jetzt möglich durch die Fehler von dem Druck die Fehler der Leistung zu berechnen. Es sind vom Hersteller 2 Unsicherheiten angegeben. Für das Grobvakuum ist der Gesamtfehler  $\Delta p_g = 0.08 \cdot p$ . Für das Feinvakuum 20%p+2Digits und eine Auflösung von A=0.001hPa.

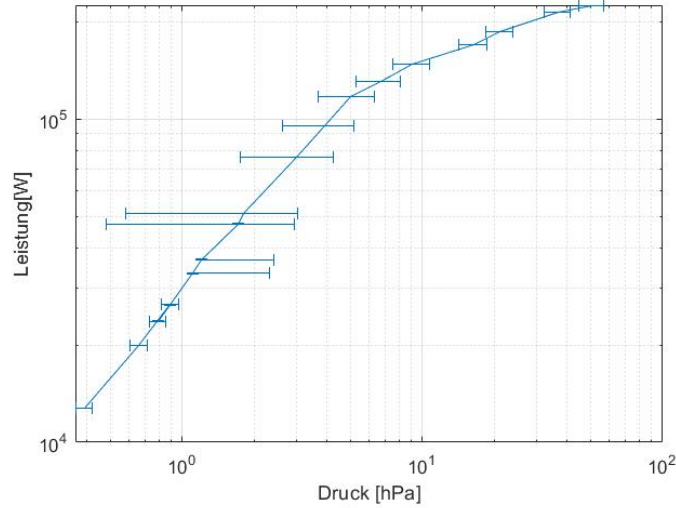


Figure 7: Leistung als Funktion vom Druck. Doppellogarithmische Skala

Im unteren Bereich, bis zum Druck von 1 hPa sieht man aus dem Graphen sofort dass es linear ist. Im Bereich 1-10 hPa findet man immer noch ein wenig von diesem Verhalten, auch wenn weniger markant, danach ist die linearität nicht mehr vorhanden. Die Vermutung ist dass das Verhalten sich zwischen Grob und Feinvakuum verändert und die zone zwischen 1-10 hPa eine Transitionszone ist mit gemischtem verhalten. Die Fehler der Leistung sind extrem klein. Das ist so weil für größeren Werte von dem Druck als Fit eine exponentialkurve benutzt würde, nach dem strom umgestellt gibt dass eine logarithmische kurve die nach p abgeleitet auf einen  $1/p$  Term im Fehler führt. Daraus folgt dass der Fehler invers proportional zu p ist. Es kann sein dass gaußsche Fehlerfortpflanzung in diesem Falle nicht die beste Lösung ist da dass auf so extrem kleine Fehler führt.

## 4.2 Saugvermögen der Pumpe

Das Saugvermögen der Pumpe wurde durch die Formel 9 berechnet.  $\partial V / \partial t$  wird hier zu  $\Delta V / \Delta t$  diskretisiert. Wir erhalten so die folgende Formel

$$S = \frac{V \cdot p_0}{t \cdot p} \quad (19)$$

mit  $p_0 = 960 \text{ mbar}$  dem Normaldruck in Garching. In

| Table 1: Ergebnisse bei konstantem Strom |                       |                           |
|--|-----------------------|---------------------------|
| $p[\text{hPa}]$                          | $\Delta t[\text{s}]$  | $S [\text{m}^3/\text{h}]$ |
| $0,6699 \pm 0,1040$                      | $247,7333 \pm 1,0000$ | $1,2470 \pm 0,5436$       |
| $1,2536 \pm 1,2117$                      | $112,1133 \pm 0,5000$ | $1,6919 \pm 0,4639$       |
| $1,3671 \pm 1,2103$                      | $49,8200 \pm 0,2500$  | $6,5447 \pm 1,4884$       |
| $4,6779 \pm 1,3160$                      | $35,5967 \pm 0,2500$  | $4,6175 \pm 0,3582$       |

In der folgenden tabelle sehen wir den zusammenhang zwischen vier verschiedenen Drücken und dem Saugvermögen. Gemittelt erhalten wir als Saugvermögen  $(3,5253 \pm 0,7135) \text{m}^3/\text{h}$ , was im Mittel recht gut mit der Herstellerangabe von  $3,7 \text{m}^3/\text{h}$  übereinstimmt. Man muss aber feststellen dass alle einzelnen errechneten Werte von  $S$  recht weit entfernt davon sind und mit nur 4 Messunge es schwer is zu behaupten dass sich statische Fehler untereinander aufgehoben haben. Diese ungenauigkeit kann an der großen unsicherheit der Pirani-manometers bei geringen Drücken liegen.

### 4.3 Effektives Saugvermögen der Pumpe

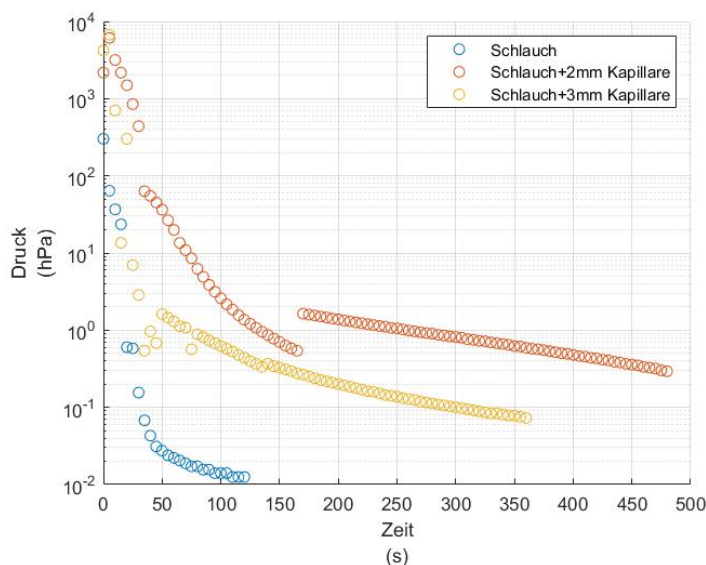


Figure 8: Druck als Funktion der Zeit für die drei verschiedenen Verbindungen. Halblogarithmische Skala

Besonders markant sind die Stellen im Graphen wo der Druck springt. Dies ist kein physikalisches Phenomen, sonder liegt daran dass an diesen punkte die funktion die zum fitten benutzt wurde sich ändert und dort nicht zuverlässig ist. Man sieht auch sofort die hohen Anfangs Drücke; bei allen Messungen ist der Druck kurz nach oben geschossen, bevor er angefangen hat schnell zu fallen. Dies liegt wahrscheinlich am Instrument da es keinen Grund gibt warum

im gefäß der Druck höher sein sollte als außen, wenn wie keine Luft reingepumpt haben. Das effektive Saugvermögen lässt sich durch Gleichung 11 bestimmen.

$$S_{eff} = -\ln\left(\frac{p(t)}{p_0}\right) \cdot \left(\frac{V}{t}\right) \quad (20)$$

Der theoretische Wert wird bestimmt durch die Gleichung 17. Mit  $S = 3,7 \frac{m^3}{h}$ , und L durch Gleichung 14 für viskose Strömung und 16 für molekulare Strömung.  $\eta_{luft}$  sei gegeben als  $1,82 \cdot 10^{-5} kg/ms$  und  $\bar{p}$  sei gegeben als 5hPa. Die logarithmische Steigung ist gegeben durch

$$m_{eff} = \frac{\ln(p) - \ln(p_0)}{t} \quad (21)$$

Table 2: Logarithmische Steigung

| Strömung  | Schlauch | Kapillare 3mm | Kapillare 2mm |
|-----------|----------|---------------|---------------|
| Viskos    | -0,54175 | -0,72713      | -0,90309      |
| Molekular | -0,85256 | -1,44283      | -1,09469      |

Table 3: Theoretische Leeitwerte  $m^3/h$

| Strömung  | Schlauch                     | Kapillare 3mm     | Kapillare 2mm              |
|-----------|------------------------------|-------------------|----------------------------|
| Viskos    | $(1,50 \pm 0,02) \cdot 10^3$ | $(2,1 \pm 0,3)$   | $(0,41 \pm 0,01)$          |
| Molekular | $(10,8 \pm 1,1)$             | $(0,13 \pm 1,01)$ | $(37 \pm 5) \cdot 10^{-3}$ |

Für die theoretischen Leitwerte wurden Formeln 16 und 14 benutzt.

Table 4: Theoretisches effektive Saugvermögen  $m^3/h$

| Strömung  | Schlauch          | Kapillare 3mm     | Kapillare 2mm       |
|-----------|-------------------|-------------------|---------------------|
| Viskos    | $(3,69 \pm 0,01)$ | $(1,3 \pm 0,2)$   | $(0,37 \pm 0,06)$   |
| Molekular | $(2,7 \pm 0,1)$   | $(0,12 \pm 0,01)$ | $(0,035 \pm 0,005)$ |

Table 5: Experimentelles effektive Saugvermögen  $m^3/h$

| Strömung  | Schlauch              | Kapillare 3mm         |
|-----------|-----------------------|-----------------------|
| Viskos    | $(4,0133 \pm 0,0701)$ | $(0,7992 \pm 0,0259)$ |
| Molekular | $(1,9401 \pm 0,0014)$ | $(3,4360 \pm 0,0014)$ |

---

Drei von Vier Werten liegen in der Selben größenordnung, auch wenn sie im Fehler nicht übereinstimmen, weil die Fehler extrem klein sind gegen unsere Daten. Nur der Wert für Molekulare strömung bei der 3mm Kapillaren ist sehr anders als der theoretisch errechnete. Eine sehr große Fehlerquelle die aber nicht direkt im Fehler quantifiziert wurde ist die Ungenauigkeit des Fits über große Bereiche, besonders markant in der Figur 4.3, wo die “Funktion” sogar unstetig ist, für dass es in diesem experiment keinen physikalischen Grund gibt.

## 4.4 Fragen

### 4.4.1 Frage 1

Viskose Strömung entsteht bei Grobvakuum, wo es noch, im vergleich mit Fein und Hochvakuum, viele Moleküle gibt. Dies bedeutet dass die mittlere freie Weglänge sehr kurz ist und es viele Kollisionen zwischen Molekülen gibt. Für Molekulare Strömung ist ein stärkeres Vakuum nötig. Da die Teilchendichte dort geringer ist gibt es auch weniger Kollisionen und die mittlere freier Weglänge ist größer.

### 4.4.2 Frage 2

Durch Vergleich mit Abbildung 4.3 und der Annahme dass sich das benehmen des Drucks bei einem Kapillar von  $d=1\text{mm}$  nicht von den anderen verändert, kann man vermuten dass der Druck nach 10 Minuten etwas über 1 hPa sein wird.

### 4.4.3 Frage 3

Mit der Gleichung 1 kann man den Druck bei 1 Molekül pro  $m^3$

$$p = \frac{N}{V} \cdot k_b \cdot T \approx 4,04 \cdot 10^{-21} Pa \quad (22)$$

angenommen Tempeatur= $20^\circ\text{C}$

## 5 Anhang

### 5.1 Fehlerechnung

#### 5.1.1 kalibrierkurve

Für die Leistung des Manometers haben wir die Fehler wie folgt berechnet:

$$\Delta P = \sqrt{(\Delta R)^2 + \left(\frac{\partial P}{\partial I}\right)^2 \cdot (\Delta I)^2} \quad (23)$$

mit  $\Delta I = \left(\frac{\partial I}{\partial p}\right) \cdot \Delta p$  unterteilt wie folgt

$$\left\{ \begin{array}{ll} \left(\frac{\partial I}{\partial p}\right) = \frac{1}{0.0795} & 0.39 \leq p \leq 0.79 \\ \left(\frac{\partial I}{\partial p}\right) = \frac{1}{0.0795} & 1.1 \leq p \leq 1.7 \\ \left(\frac{\partial I}{\partial p}\right) = \frac{1}{0.1206 \cdot p} & 1.7 \leq p \leq 72 \end{array} \right. \left\{ \begin{array}{ll} \Delta p_{Grob} = 0.08 \cdot p & 0.39 \leq p \leq 0.79 \\ \Delta p_{Fein} = \sqrt{\left(\frac{20}{\sqrt{3}} \cdot p\right)^2 + (2Digits + 1)^2 + \left(\frac{0.001}{\sqrt{3}}\right)^2} & 1.1 \leq p \leq 1.7 \\ \Delta p_{Fein} = \sqrt{\left(\frac{20}{\sqrt{3}} \cdot p\right)^2 + (2Digits + 1)^2 + \left(\frac{0.001}{\sqrt{3}}\right)^2} & 1.7 \leq p \leq 72 \end{array} \right.$$

### 5.1.2 Saugvermögen der Pumpe

$$S = \frac{dV}{dt} \cdot \frac{p_0}{p} \quad (24)$$

$$\Delta S = \sqrt{\left(\frac{\partial S}{\partial V} \cdot \Delta V\right)^2 + \left(\frac{\partial S}{\partial t} \cdot \Delta t\right)^2 + \left(\frac{\partial S}{\partial p} \cdot \Delta p\right)^2} \quad (25)$$

$$\Delta p = \sqrt{(\Delta p_{Grob/fein*})^2 + \left(\frac{\partial p}{\partial I} \cdot \Delta I\right)^2} \quad (26)$$

mit  $\Delta p_{grob}$  und  $\Delta p_{fein}$  aus der vorherigen Aufgabe.

### 5.1.3 Effektives Saugvermögen der Pumpe

Im viskosen Bereich gilt Gleichung 14, im molekularem 16.. Der Fehler bleibt:

$$\Delta L = \sqrt{\left(\frac{\partial L}{\partial d} \cdot \Delta d\right)^2 + \left(\frac{\partial L}{\partial l} \cdot \Delta l\right)^2} \quad (27)$$

Für die Berechnung des Fehlers des effektiven Saugvermögen würde Gaußsche Fehlerfortpflanzung benutzt, für die Variablen V, mit gegebenem Fehler, und p, mit Fehler errechnet so wie in den vorherigen aufgaben mit verschiedenen Formeln für viskose und molekulare Strömung

## 5.2 Literaturverzeichnis

- <https://www.ph.tum.de/academics/org/labs/ap/ap2/VAK.pdf>
- Praktikumsseite auf Moodle
- Demtröder Experimentalphysik 2, ISBN 978-3-642-29944-5
- <https://www.ph.tum.de/academics/org/labs/ap/org/ABW.pdf>

## 5.3 Bilderverzeichnis

- <https://www.ph.tum.de/academics/org/labs/ap/ap2/VAK.pdf>

---

## 5.4 Daten

| Aufgabe1         |          |
|------------------|----------|
| druck in mBar (= | strom mA |
| 0,004            | 5,8      |
| 0,068            | 9,2      |
| 0,3              | 15,5     |
| 0,39             | 17       |
| 0,66             | 21,3     |
| 0,89             | 24,6     |
| 0,79             | 23,2     |
| 1,1              | 27,5     |
| 1,2              | 28,9     |
| 1,7              | 32,8     |
| 1,8              | 34,1     |
| 3                | 41,6     |
| 3,9              | 46,5     |
| 5                | 51,6     |
| 6,7              | 54,4     |
| 9,1              | 58       |
| 16,4             | 62,1     |
| 21,1             | 65       |
| 36,7             | 69,7     |
| 50,8             | 71,5     |
| 70,1             | 72,5     |
| 86               | 73,1     |
| 118,9            | 73,5     |
| 135,3            | 73,7     |
| 266,1            | 74,4     |
| 404,3            | 74,6     |
| 657,2            | 75,1     |
| 834,8            | 75,2     |
| 950,8            | 75,6     |



| Strom | deltaStrom | DeltaV(ml) | Zeit1(s) | Zeit2(s) | Zeit3(s) |
|-------|------------|------------|----------|----------|----------|
| 21,4  | 0,1        | 20         | 82,74    | 83,06    | 80,02    |
| 28,7  | 0,3        | 40         | 65,18    | 62,99    | 63,38    |
| 41,9  | 0,5        | 80         | 30,9     | 38,56    | 31,83    |
| 52,1  | 0,5        | 80         | 12,8     | 13,99    | 12,72    |

| t in sec | Strom in mA | Druck      | t in sec | Strom in mA | Druck      | t in sec | Strom in mA | Druck      |
|----------|-------------|------------|----------|-------------|------------|----------|-------------|------------|
| 0        | 74,3        | 301,509641 | 0        | 76,4        | 2174,80001 | 0        | 77,1        | 4202,02567 |
| 5        | 73,8        | 64,062724  | 5        | 77,5        | 6122,23186 | 5        | 77,6        | 6726,24281 |
| 10       | 69,2        | 36,785460  | 10       | 76,8        | 3168,62174 | 10       | 75,2        | 703,17936  |
| 15       | 65,5        | 23,544274  | 15       | 76,4        | 2174,80001 | 15       | 71          | 13,51543   |
| 20       | 35,1        | 0,602085   | 20       | 76          | 1492,68530 | 20       | 74,3        | 301,50964  |
| 25       | 20,3        | 0,581985   | 25       | 75,4        | 848,77318  | 25       | 55,4        | 6,96448    |
| 30       | 12,1        | 0,155136   | 30       | 74,7        | 439,29097  | 30       | 48          | 2,85303    |
| 35       | 9,2         | 0,067963   | 35       | 73,7        | 63,29477   | 35       | 34,2        | 0,54016    |
| 40       | 8,1         | 0,042983   | 40       | 72,5        | 54,76672   | 40       | 39          | 0,96366    |
| 45       | 7,5         | 0,031128   | 45       | 70,9        | 45,15598   | 45       | 36,1        | 0,67926    |
| 50       | 7,3         | 0,027446   | 50       | 69,1        | 36,34449   | 50       | 33,2        | 1,61334    |
| 55       | 7,1         | 0,023897   | 55       | 66,5        | 26,56203   | 55       | 31,1        | 1,44545    |
| 60       | 7           | 0,022172   | 60       | 64,1        | 19,88653   | 60       | 29,2        | 1,29354    |
| 65       | 6,9         | 0,020480   | 65       | 60,9        | 13,51936   | 65       | 27,1        | 1,12565    |
| 70       | 6,8         | 0,018821   | 70       | 59,1        | 10,88127   | 70       | 26,5        | 1,07768    |
| 75       | 6,7         | 0,017194   | 75       | 57,1        | 8,54924    | 75       | 20,1        | 0,56600    |
| 80       | 6,7         | 0,017194   | 80       | 54,5        | 6,24813    | 80       | 24,1        | 0,88580    |
| 85       | 6,6         | 0,015599   | 85       | 52,5        | 4,90906    | 85       | 23,2        | 0,81384    |
| 90       | 6,6         | 0,015599   | 90       | 50,5        | 3,85697    | 90       | 22,2        | 0,73389    |
| 95       | 6,5         | 0,014036   | 95       | 48,8        | 3,14201    | 95       | 21,5        | 0,67793    |
| 100      | 6,5         | 0,014036   | 100      | 47,2        | 2,59063    | 100      | 20,8        | 0,62196    |
| 105      | 6,5         | 0,014036   | 105      | 45,7        | 2,16193    | 105      | 20,2        | 0,57399    |
| 110      | 6,4         | 0,012506   | 110      | 44,4        | 1,84822    | 110      | 19,6        | 0,52602    |
| 115      | 6,4         | 0,012506   | 115      | 43          | 1,56109    | 115      | 19          | 0,47805    |
| 120      | 6,4         | 0,012506   | 120      | 41,9        | 1,36714    | 120      | 18,5        | 0,43808    |
|          |             |            | 125      | 40,9        | 1,21182    | 125      | 18          | 0,39810    |
|          |             |            | 130      | 39,9        | 1,07414    | 130      | 17,6        | 0,36612    |
|          |             |            | 135      | 38,9        | 0,95211    | 135      | 17,2        | 0,33414    |
|          |             |            | 140      | 38,1        | 0,86454    | 140      | 16,8        | 0,36811    |
|          |             |            | 145      | 37,2        | 0,77562    | 145      | 16,3        | 0,34098    |
|          |             |            | 150      | 36,4        | 0,70428    | 150      | 16          | 0,32522    |

|  |  |  |     |      |         |     |      |         |
|--|--|--|-----|------|---------|-----|------|---------|
|  |  |  | 155 | 35,5 | 0,63184 | 155 | 15,7 | 0,30986 |
|  |  |  | 160 | 34,8 | 0,58069 | 160 | 15,4 | 0,29489 |
|  |  |  | 165 | 34,2 | 0,54016 | 165 | 15   | 0,27553 |
|  |  |  | 170 | 33,5 | 1,63733 | 170 | 14,8 | 0,26611 |
|  |  |  | 175 | 32,9 | 1,58936 | 175 | 14,5 | 0,25229 |
|  |  |  | 180 | 32,4 | 1,54938 | 180 | 14,2 | 0,23885 |
|  |  |  | 185 | 31,8 | 1,50141 | 185 | 13,9 | 0,22578 |
|  |  |  | 190 | 31,3 | 1,46144 | 190 | 13,7 | 0,21728 |
|  |  |  | 195 | 30,7 | 1,41347 | 195 | 13,5 | 0,20894 |
|  |  |  | 200 | 30,3 | 1,38149 | 200 | 13,3 | 0,20077 |
|  |  |  | 205 | 29,7 | 1,33352 | 205 | 13,1 | 0,19276 |
|  |  |  | 210 | 29,3 | 1,30154 | 210 | 12,9 | 0,18492 |
|  |  |  | 215 | 28,8 | 1,26156 | 215 | 12,7 | 0,17723 |
|  |  |  | 220 | 28,4 | 1,22958 | 220 | 12,5 | 0,16971 |
|  |  |  | 225 | 28   | 1,19760 | 225 | 12,3 | 0,16234 |
|  |  |  | 230 | 27,6 | 1,16562 | 230 | 12,2 | 0,15872 |
|  |  |  | 235 | 27,2 | 1,13364 | 235 | 12   | 0,15159 |
|  |  |  | 240 | 26,9 | 1,10966 | 240 | 11,8 | 0,14462 |
|  |  |  | 245 | 26,4 | 1,06968 | 245 | 11,7 | 0,14120 |
|  |  |  | 250 | 26,2 | 1,05369 | 250 | 11,6 | 0,13781 |
|  |  |  | 255 | 25,8 | 1,02171 | 255 | 11,4 | 0,13116 |
|  |  |  | 260 | 25,4 | 0,98973 | 260 | 11,3 | 0,12789 |
|  |  |  | 265 | 25,1 | 0,96575 | 265 | 11,2 | 0,12466 |
|  |  |  | 270 | 24,8 | 0,94176 | 270 | 11   | 0,11831 |
|  |  |  | 275 | 24,5 | 0,91778 | 275 | 10,9 | 0,11519 |
|  |  |  | 280 | 24,3 | 0,90179 | 280 | 10,8 | 0,11212 |
|  |  |  | 285 | 23,9 | 0,86981 | 285 | 10,7 | 0,10908 |
|  |  |  | 290 | 23,7 | 0,85382 | 290 | 10,6 | 0,10608 |
|  |  |  | 295 | 23,4 | 0,82983 | 295 | 10,5 | 0,10311 |
|  |  |  | 300 | 23,2 | 0,81384 | 300 | 10,4 | 0,10019 |
|  |  |  | 305 | 23   | 0,79785 | 305 | 10,3 | 0,09730 |
|  |  |  | 310 | 22,6 | 0,76587 | 310 | 10,2 | 0,09445 |

|  |  |  |     |      |         |     |      |         |
|--|--|--|-----|------|---------|-----|------|---------|
|  |  |  | 315 | 22,4 | 0,74988 | 315 | 10,1 | 0,09163 |
|  |  |  | 320 | 22,1 | 0,72590 | 320 | 10   | 0,08885 |
|  |  |  | 325 | 22   | 0,71790 | 325 | 9,9  | 0,08611 |
|  |  |  | 330 | 21,7 | 0,69392 | 330 | 9,8  | 0,08341 |
|  |  |  | 335 | 21,5 | 0,67793 | 335 | 9,8  | 0,08341 |
|  |  |  | 340 | 21,3 | 0,66194 | 340 | 9,7  | 0,08075 |
|  |  |  | 345 | 21,1 | 0,64595 | 345 | 9,6  | 0,07812 |
|  |  |  | 350 | 20,8 | 0,62196 | 350 | 9,6  | 0,07812 |
|  |  |  | 355 | 20,7 | 0,61397 | 355 | 9,5  | 0,07552 |
|  |  |  | 360 | 20,4 | 0,58998 | 360 | 9,4  | 0,07297 |
|  |  |  | 365 | 20,2 | 0,57399 |     |      |         |
|  |  |  | 370 | 20,1 | 0,56600 |     |      |         |
|  |  |  | 375 | 19,9 | 0,55001 |     |      |         |
|  |  |  | 380 | 19,7 | 0,53402 |     |      |         |
|  |  |  | 385 | 19,5 | 0,51803 |     |      |         |
|  |  |  | 390 | 19,3 | 0,50204 |     |      |         |
|  |  |  | 395 | 19,2 | 0,49404 |     |      |         |
|  |  |  | 400 | 19   | 0,47805 |     |      |         |
|  |  |  | 405 | 18,8 | 0,46206 |     |      |         |
|  |  |  | 410 | 18,7 | 0,45407 |     |      |         |
|  |  |  | 415 | 18,5 | 0,43808 |     |      |         |
|  |  |  | 420 | 18,4 | 0,43008 |     |      |         |
|  |  |  | 425 | 18,2 | 0,41409 |     |      |         |
|  |  |  | 430 | 18,1 | 0,40610 |     |      |         |
|  |  |  | 435 | 17,9 | 0,39011 |     |      |         |
|  |  |  | 440 | 17,8 | 0,38211 |     |      |         |
|  |  |  | 445 | 17,6 | 0,36612 |     |      |         |
|  |  |  | 450 | 17,5 | 0,35813 |     |      |         |
|  |  |  | 455 | 17,4 | 0,35013 |     |      |         |
|  |  |  | 460 | 17,2 | 0,33414 |     |      |         |
|  |  |  | 465 | 17,1 | 0,32615 |     |      |         |
|  |  |  | 470 | 17   | 0,31815 |     |      |         |

|  |  |  |     |      |         |  |  |  |
|--|--|--|-----|------|---------|--|--|--|
|  |  |  | 475 | 16,8 | 0,30216 |  |  |  |
|  |  |  | 480 | 16,7 | 0,29417 |  |  |  |